

МОСКОВСКИЙ ФИЗИКО-ТЕХНИЧЕСКИЙ ИНСТИТУТ  
(НАЦИОНАЛЬНЫЙ ИССЛЕДОВАТЕЛЬСКИЙ  
УНИВЕРСИТЕТ)

Физтех-школа аэрокосмических технологий  
Кафедра вычислительной физики

Выпускная квалификационная работа бакалавра

**Расчетно-экспериментальное  
исследование применения аберраторов  
для акустической левитации**

**Автор:**

Студент группы Б03-101  
Куланов Александр Владимирович

**Научный руководитель:**

к.ф.-м.н.  
Беклемышева Катерина Алексеевна

Москва, 2025

## **Аннотация**

Расчётно-экспериментальное исследование  
применения аберраторов для акустической  
левитации

*Куланов Александр Владимирович*

Основной целью данной работы является исследование акустической левитации в воде с помощью математического моделирования и физического эксперимента. Практический интерес представляет изучение применимости выбранного численного метода, а так же аберраторов как способа влияния на получаемое акустическое поле. Для численного эксперимента используется решатель на основе сеточно-характеристического метода.

## **РЕЗУЛЬТАТЫ**

# Содержание

<b>1</b>	<b>Введение</b>	<b>4</b>
1.1	Актуальность . . . . .	4
1.2	Цель работы . . . . .	4
<b>2</b>	<b>Математическая модель</b>	<b>6</b>
2.1	Система уравнений акустики . . . . .	6
2.2	Выражения для коэффициентов прохождения и отражения волны . . . . .	7
<b>3</b>	<b>Описание численного метода</b>	<b>9</b>
3.1	Сеточно-характеристический метод . . . . .	9
3.2	Программный комплекс . . . . .	10
<b>4</b>	<b>Постановка задачи и эксперимента</b>	<b>12</b>
4.1	Постановка задачи . . . . .	12
4.2	Пьезоэлектрический эффект . . . . .	12
4.3	Создание экспериментальной установки . . . . .	13
<b>5</b>	<b>Результаты</b>	<b>14</b>
5.1	Результаты численных расчетов . . . . .	14
5.2	Результаты физического эксперимента . . . . .	14
<b>6</b>	<b>Заключение</b>	<b>15</b>

# 1 Введение

## 1.1 Актуальность

Акустическая левитация представляет собой бесконтактный метод удержания и манипуляции телами в жидкой или газообразной среде за счёт действия сил акустического давления, возникающих при взаимодействии акустических волн с объектом. За последние десятилетия эта технология приобрела широкое признание в различных областях науки и техники благодаря своей способности минимизировать механические и химические взаимодействия с удерживаемым образцом. Она находит применение в многих инженерных приложениях, например, в фармацевтической области [1], машиностроении [2] и прецизионной робототехнике [3]. В частности, одним из приложений является необходимость бесконтактного позиционирования биологических тканей в задаче биопечати.

Существуют различные технические способы управления акустическим полем. К примеру, использование отражателей сложной формы в совокупности с массивом излучателей исследовано в [4]. Другим подходом оптимизации акустических левитаторов является использование акустических аберраторов — специальных элементов, способных искажать фазу или амплитуду акустических волн для формирования заданного пространственного распределения давления. Такие аберраторы позволяют целенаправленно управлять звуковым полем, создавать нужную форму потенциала и задавать положение левитируемых объектов, не прибегая к использованию сложных массивов излучателей.

## 1.2 Цель работы

Настоящая работа посвящена численному моделированию акустической левитации с учётом применения аберрирующих элементов. Исследуется влияние параметров аберраторов на структуру акустического поля, полученная картина потенциала Горького и реальная устойчивость положения левитируемых объектов. Результаты могут быть использованы при проектировании перспективных систем для микро- и макроманипуляции. Для достижения поставленной цели были поставлены следующие задачи:

1. Разработка и создание экспериментальной установки, позволяющей проводить физические эксперименты по акустической левитации в жидкости с возможностью использования различных излучателей
2. Разработка или выбор готового программного комплекса, с помощью которого проводится моделирование физического эксперимента

## 2 Математическая модель

### 2.1 Система уравнений акустики

Основой для описания исследуемой среды является модель линейной упругости. Тогда в общем случае, согласно [5]

$$\begin{aligned}\rho \dot{\vec{v}} &= \nabla \cdot \mathbb{T} + \vec{f} \\ \dot{\mathbb{T}} &= \mathbf{q} : \dot{\varepsilon} + \mathbf{F}\end{aligned}\tag{1}$$

Здесь  $\rho$  - плотность в данной точке,  $\vec{v}$  - скорость частиц в данной точке,  $\mathbb{T}$  - тензор напряжений в данной точке,  $\varepsilon$  - тензор деформаций в данной точке,  $\vec{f}$  и  $\mathbf{F}$  - силы,  $\mathbf{q}$  - тензор упругих коэффициентов. Далее везде силы примем равными нулю, согласно постановке задачи. Пользуясь малостью смещения, используем выражения для тензора малых деформаций

$$\varepsilon = \frac{1}{2} (\nabla \otimes \vec{r} + \vec{r} \otimes \nabla)\tag{2}$$

Здесь  $\vec{r}$  - вектор смещения в данной точке,  $\otimes$  - оператор тензорного умножения. Дифференцируя это выражения по времени и подставляя в исходную систему, получаем

$$\begin{aligned}\rho \dot{\vec{v}} &= \nabla \cdot \mathbb{T} \\ \dot{\mathbb{T}} &= \frac{1}{2} \mathbf{q} : (\nabla \otimes \vec{v} + \vec{v} \otimes \nabla)\end{aligned}\tag{3}$$

Воспользуемся теперь тем, что исследуемая среда изотропна, то есть свойства одинаковы для любого направления в пространстве. Известно, что для такого материала количество независимых коэффициентов в тензоре  $\mathbf{q}$  равно двум. Их называют параметры Ламе и обычно обозначают  $\lambda$ ,  $\mu$ . Полезно также представить их выражения через модуль Юнга  $E$  и коэффициент Пуассона  $\nu$

$$\begin{aligned}\lambda &= \frac{E\nu}{(1+\nu)(1-2\nu)} \\ \mu &= \frac{E}{2(1+\nu)}.\end{aligned}\tag{4}$$

Итого, для изотропного случая можно записать

$$\begin{aligned}\rho\dot{\vec{v}} &= \nabla \cdot \mathbb{T} \\ \dot{\mathbb{T}} &= \lambda(\nabla \cdot \vec{v})\mathbb{I} + \mu(\nabla \otimes \vec{v} + \vec{v} \otimes \nabla)\end{aligned}\tag{5}$$

Остается последний шаг преобразования. Применим акустическое приближение: тензор напряжений зависит только от одного скалярного параметра  $p$ , который называют давлением, и выражается через единичный тензор  $\mathbb{I}$ . Модуль сдвига  $\mu$  считается равен нулю.

$$\mathbb{T} = -p\mathbb{I}\tag{6}$$

Эта модель хорошо подходит для описания жидкостей, что и требуется в настоящей работе. Традиционно переобозначим  $\lambda$  за  $K$  — модуль всестороннего сжатия. Наконец, подставляя это выражение в 5, получаем

$$\begin{aligned}\rho\dot{\vec{v}} &= -\nabla(p\mathbb{I}) \\ \dot{p} &= -K(\nabla \cdot \vec{v})\end{aligned}\tag{7}$$

## 2.2 Выражения для коэффициентов прохождения и отражения волны

Для некоторых дальнейших рассуждений полезно понимать, какая часть волны проходит через контактную границу, а какая отражается обратно. В [6] приведено более подробное рассуждение, в настоящей же работе ограничимся соотношениями для нормально падающей на контактную границу волны:

$$\begin{aligned}R &= \frac{Z_2 - Z_1}{Z_2 + Z_1} \\ T &= \frac{2Z_2}{Z_2 + Z_1}\end{aligned}\tag{8}$$

Здесь  $R$  - коэффициент отражения по амплитуде,  $T$  - коэффициент прохождения по амплитуде. Возводя их в квадрат можно получить коэффициенты по энергии, но они не понадобятся. Индексам "1" и "2" соответствуют величины в среде из которой и в которую бежит волна соответственно. Также важное обозначение  $Z = \sqrt{\frac{K}{\rho}} = \rho c$  — акустический импеданс среды, величина, характеризующая сопротивление среды распространению

звуковых волн,  $c$  — скорость звука в среде.



## 3 Описание численного метода

### 3.1 Сеточно-характеристический метод

В настоящей работе используется сеточно-характеристический численный метод (СХМ). В самой общей постановке и подробно этот метод описан в [7], а для системы уравнений акустики подробно рассмотрен, помимо прочего, в [6]. Для настоящей работы приведем краткое описание построения и применения данного метода.

Для произвольной трехмерной области рассматривается гиперболическая система уравнений:

$$\frac{\partial \vec{u}}{\partial t} + \sum_{i=1}^3 \mathbf{A}_i \frac{\partial \vec{u}}{\partial x_i} = 0. \quad (9)$$

Здесь матрицы  $\mathbf{A}_i$  не зависят от пространственных координат и времени. Тот факт, что система гиперболическая, то есть её матрицы имеют полный набор собственных векторов и только вещественные собственные числа, позволяет разбивать эту систему на независимые уравнения переноса. Для этого необходимо представить исходную матрицу в виде спектрального разложения

$$\mathbf{A} = \mathbf{U}^{-1} \mathbf{\Lambda} \mathbf{U} \quad (10)$$

где  $\mathbf{U}^{-1}$ ,  $\mathbf{U}$  — матрицы собственных векторов и строк соответственно. Далее, переходя к инвариантам Римана  $\vec{r} = \mathbf{U} \vec{u}$ , получаем

$$\frac{\partial \vec{r}}{\partial t} + \mathbf{\Lambda} \frac{\partial \vec{r}}{\partial x} = 0 \quad (11)$$

Так как матрица  $\mathbf{\Lambda}$  диагональна, система распадается на независимые скалярные уравнения переноса. Для полученных одномерных уравнений применяется главная идея сеточно-характеристического метода. Из точки на временном слое  $n + 1$  выпускается характеристика, вдоль которой сохраняется значение решения. Далее функция интерполируется в точке пересечения этой характеристики с предыдущим временным слоем. После этого производится обратное преобразование  $\vec{u} = \mathbf{U}^{-1} \vec{r}$ . Сказанное выше проиллюстрировано на рисунке 1:

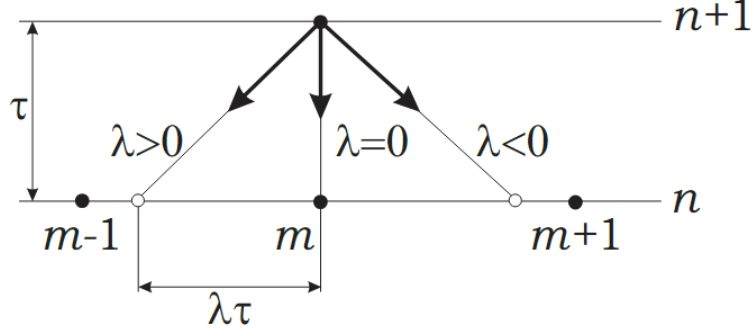


Рис. 1: Иллюстрация сеточно-характеристического метода в одномерном случае

Для системы уравнений акустики спектральное разложение выглядит довольно просто и было описано в [6]. Приведем лишь результат разложения. Вдоль направления  $\vec{e}$  оно выглядит следующим образом:

$$\mathbf{A} = \frac{1}{2} \begin{pmatrix} \vec{e} & \vec{e} & \vec{e}' & \vec{e}'' \\ c\rho & -c\rho & 0 & 0 \end{pmatrix} \begin{pmatrix} c & 0 & 0 & 0 \\ 0 & -c & 0 & 0 \\ 0 & 0 & 0 & 0 \\ 0 & 0 & 0 & 0 \end{pmatrix} \begin{pmatrix} \vec{e}^T & \frac{1}{c\rho} \\ \vec{e}^T & -\frac{1}{c\rho} \\ 2\vec{e}'^T & 0 \\ 2\vec{e}''^T & 0 \end{pmatrix} \quad (12)$$

В данном контексте  $\vec{e}$ ,  $\vec{e}'$ ,  $\vec{e}''$  образуют правую тройку, а собственные значения с матрицы  $\mathbf{A}$  равны

$$c = \pm \sqrt{\frac{K}{\rho}}, \quad (13)$$

$$c = 0$$

## 3.2 Программный комплекс

В настоящей работе используется программный комплекс, реализующий СХМ в 3D на языке Python. Его автором является А. В. Васюков [8]. Выбор именно такого комплекса заключается в простоте использования и удобстве доработки, однако пришлось жертвовать скоростью расчетов. Расчеты производятся на ортогональной сетке, примерное время одного расчета — десятки минут. Простота использования заключается в удобстве

понимания и написания программного кода на языке Python, благодаря чему без особых усилий можно варьировать граничные условия и параметры среды. Проще говоря, при таком подходе большее количество сил и времени можно потратить на создание экспериментальной установки, что в настоящей работе оказалось нетривиальной задачей. Визуализация и контроль решения производились в среде ParaView, а так же средствами библиотеки matplotlib.

## 4 Постановка задачи и эксперимента

### 4.1 Постановка задачи

Как было сказано ранее, основной целью работы является изучение применения аберраторов для акустической левитации в воде. Исходя из этого были сформулированы требования к экспериментальной установке:

- Главным инструментом для контроля формы распределения акустического давления является аберратор, то есть не используются матрицы из излучателей (используется один излучатель), а так же отражатели в форме, отличной от плоской.
- В качестве излучателя используется пьезоэлемент. В данном случае это решение безальтернативное.
- Диапазон доступных частот в 10–100 кГц и величина скорости звука в воде накладывают ограничения на размер резервуара для воды.

В качестве формы аберратора был выбран достаточно простой синусоидальный профиль, чтобы его можно было изготовить не прибегая к сложным технологиям.

### 4.2 Пьезоэлектрический эффект

Как было сказано ранее, в экспериментальной установке излучателем является пьезоэлемент, так что следует привести краткие сведения о том, что это такое. Пьезоэлектрический эффект представляет собой физическое явление, заключающееся в возникновении электрического заряда на поверхности некоторых кристаллических материалов при их механическом деформировании. Этот эффект наблюдается в веществах с анизотропной кристаллической структурой, не обладающей центром симметрии. Он проявляется в двух формах: прямой и обратной.

Прямой пьезоэлектрический эффект заключается в генерации электрического потенциала в ответ на приложенное механическое воздействие (сжатие, растяжение, изгиб и др.). Это происходит вследствие изменения положения ионов в кристаллической решётке, что приводит к поляризации материала и возникновению поверхностного заряда. Сила возникшего

электрического поля пропорциональна величине механической деформации. Обратный пьезоэлектрический эффект представляет собой деформацию кристалла под действием внешнего электрического поля. Это связано с перераспределением внутренних сил в кристаллической решётке, вызывающим изменение её геометрических размеров.

Наиболее ярко выраженные пьезоэлектрические свойства наблюдаются у таких материалов, как кварц, турмалин, титанат бария, цирконат-титанат свинца (PZT, пьезоэлементы из него используются в настоящей работе), а также у некоторых полимеров, например поливинилиденфторида (PVDF).

Благодаря способности преобразовывать электрический сигнал в механический такой же формы, пьезоэлемент отлично подходит для генерации синусоидальных волн, которые необходимы для акустической левитации.

### **4.3 Создание экспериментальной установки**

## 5 Результаты

### 5.1 Результаты численных расчетов

### 5.2 Результаты физического эксперимента

## 6 Заключение

## Список литературы

- [1] *Ruiken, Jan-Paul*. Drop Dissolution Intensified by Acoustic Levitation / Jan-Paul Ruiken, Jörn Villwock, Matthias Kraume // *Micromachines*. — 2024.
- [2] Near-field acoustic levitation and applications to bearings: a critical review / Minghui Shi, Kai Feng, Junhui Hu et al. // *International Journal of Extreme Manufacturing*. — 2019.
- [3] *Nakahara, Jared*. Contact-less Manipulation of Millimeter-scale Objects via Ultrasonic Levitation / Jared Nakahara, Boling Yang, Joshua R. Smith // 2020 8th IEEE RAS/EMBS International Conference for Biomedical Robotics and Biomechatronics (BioRob). — 2020.
- [4] *Polychronopoulos, Spyros*. Acoustic levitation with optimized reflective metamaterials / Spyros Polychronopoulos, Gianluca Memoli // *Nature*. — 2020.
- [5] *Кондауров, В.И.* Основы термомеханики конденсированной среды / В.И. Кондауров, В.Е. Фортов. — М., МФТИ, 2002.
- [6] *Казаков, А. О.* Численное моделирование волновых процессов в задачах ультразвукового неразрушающего контроля сеточнохарактеристическим методом / А. О. Казаков. — Дисс. канд. физ.-мат. наук, М., МФТИ, 2019.
- [7] *Магомедов, К. М.* Сеточно-характеристические численные методы / К. М. Магомедов, А. С. Холодов. — М.: Наука, 1988.
- [8] *Васюков, А. В.* GCM 3D. <https://github.com/avasyukov/naiveAcousticsGCM3D>.
- [9] *Челноков, Ф. Б.* Явное представление сеточно-характеристических схем для уравнений упругости в двумерном и трехмерном пространствах / Ф. Б. Челноков // *Матем. моделирование*. — 2006. — Vol. 18, no. 6.



- [10] *Петров, И. Б.* Лекции по вычислительной математике / И. Б. Петров, А. И. Лобанов. — Интернет-университет информационных технологий, 2006.
- [11] *Ландау, Л.* Теория упругости / Л. Ландау, Е. Лифшиц. — Наука, 1965.
- [12] *Исакович, М. А.* Общая акустика / М. А. Исакович. — Наука, 1973.
- [13] *Горьков, Л. П.* О силах, действующих на малую частицу в акустическом поле в идаальной жидкости / Л. П. Горьков // *Доклады Академии наук СССР*. — 1961. — Vol. 140, no. 1.
- [14] *Zhang, Fuqiang.* The Experiment of Acoustic Levitation and the Analysis by Simulation / Fuqiang Zhang, Zelai Jin // *Open Access Library Journal*. — 2018.
- [15] *Noviello, C.* Mastering STM32 / C. Noviello. — LeanPub, 2022.